

Tomasz Bochnak*, Gilles Hammt†

Przemiany zabudowy sektora Champlain (oppidum Bibracte) w świetle badań wykopaliskowych z lat 2013–2019

Transformations of the structures of Champlain sector (Bibracte Oppidum) in light of excavations from 2013–2019

The article presents the results of research carried out at the Bibracte oppidum, in Champlain sector, during the years 2013–2019. During this period, an area of 144 m² was investigated, recording traces of settlement on five artificial terraces. The phases of settlement on individual terraces were distinguished and a proposal for their synchronization is presented. Generally, evidence of settlement from phase LT D2b to the middle period of Augustus' reign was documented in the researched area. The existence of older settlement traces in this sector, dating back to the LT D1 stage, must also be considered, although movable artefacts from this phase were found only in secondary deposits.

KEY WORDS: Mont Beuvray; Bibracte; Champlain; La Tène culture; settlement

Submission: 04.03.2025; Acceptance: 27.03.2025

HISTORIA BADAŃ

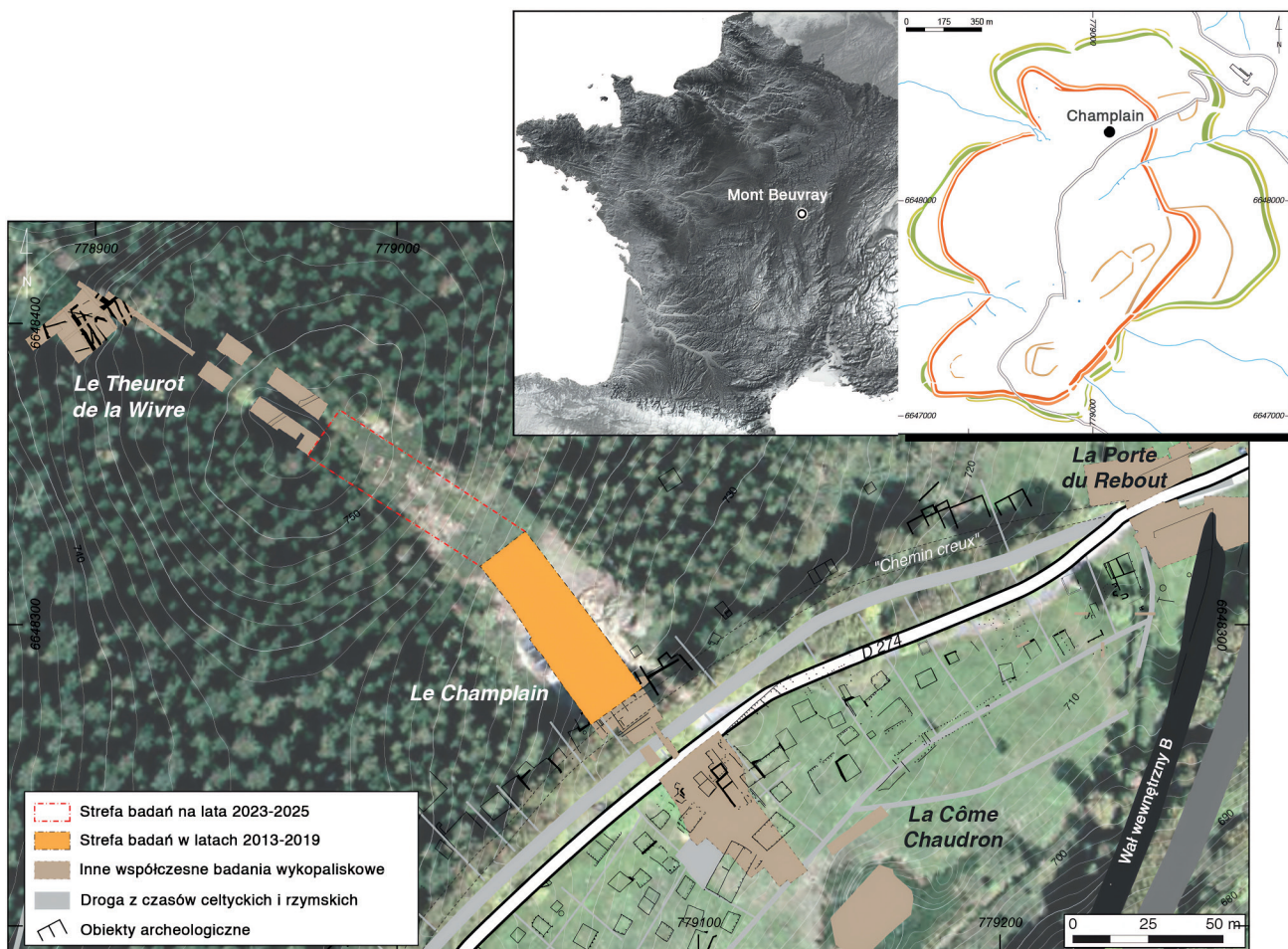
Od 2005 roku ekipa Instytutu Archeologii Uniwersytetu Rzeszowskiego (IA UR) uczestniczy w badaniach na oppidum Bibracte (Mont Beuvray) w Burgundii¹. Początkowo jako część międzynarodowego zespołu badawczego pod kierownictwem Jean-Paula Guillaumeta (CNRS, UMR 5594), a następnie w ramach ekipy polsko-czeskiej, rzeszowscy studenci pracowali wzdłuż drogi departamentalnej D 274 (na znacznych odcinkach biegnącej po śladzie drogi z czasów celtyckich), w obrębie sektorów określanymi zwyczajowymi nazwami Côme Chaudron (na południe od drogi) i Champlain (na północ od drogi). Zadokumentowano tam m.in. ślady pracowni metalurgicznych oraz wzniesionych na ich miejscu budowli z czasów Augusta, rozpoznanych wstępnie już w XIX w. przez Jacquesa-Gabriela Bulliot (Guillaumet et al. 2006; Guillaumet et al. 2007; Guillaumet et al. 2008). W sektorze Côme Chaudron wyróżniono pięć faz osadniczych obejmujących łącznie okres od schyłku LT D1 po czasy Oktawiana Augusta, a w sektorze Champlain wyróżniono cztery fazy obejmujące ten sam okres (Guillaumet,

Dhennequin 2008; Bochnak et al. 2012). Wyniki te do pewnego stopnia potwierdziły interpretacje J.-G. Bulliot, który chciał widzieć w tej części oppidum „dzielnicę rzemieślników”, lecz wykazano zarazem, że nie wszystkie fazy zasiedlenia należy łączyć z działalnością metalurgiczną.

W 2012 roku podjęto decyzję o rozpoczęciu prac wykopaliskowych na zapleczu przebadanej części kompleksu zabudowań Champlain, by rozpoznać sytuację na stoku opadającym ku drodze D 274. Wybrano obszar, który nie był badany w XIX w. (a zatem niezaburzony przez wkopy nowożytnie), położony nieco dalej od kluczowego szlaku komunikacyjnego przecinającego oppidum. Prace rozpoczęto w roku 2013 (ryc. 1). Wytyczony obszar ma docelowo połączyć wykopy z badań sektorów Côme Chaudron i Champlain z kulminacją wzniesienia o nazwie Theurot de la Wivre (793 m), rozpoznanego przez zespół pod kierunkiem Thierry Luginbühla (Guichard 2007, 26, 27). Dodatkowo, wytypowany obszar został przebadany metodą geomagnetyczną, by móc oszacować przydatność tej metody w terenie poddanym w przeszłości silnej antropopresji (Milo et al. 2017). Mamy tu na myśli nie tylko osadnictwo kultury celtyckiej, ale i orkę prowadzoną po II wojnie światowej oraz posadzony następnie las. Ponadto, na stoku sektora Champlain miały miejsce procesy sphywowe, które silnie wpłynęły na sytuację stratygraficzną. Badania były prowadzone początkowo przez mieszany, polsko-czeski zespół pod kierownictwem T. Bochnaka i P. Goláňovej (Masarykova

¹ Literatura dotycząca badań Mont Beuvray jest bardzo bogata i jej przywoływanie w tym miejscu przekraczałoby zamierzone ramy. Wspomnijmy jedynie, że opis stanowiska oraz niektóre wyniki wcześniejszych badań IA UR w Bibracte zostały opublikowane m.in. w języku polskim (Guillaumet et al. 2006; Guillaumet et al. 2007; Guillaumet et al. 2008; Bochnak, Kulikowska 2015; Bochnak, Skowron 2017; Bochnak 2021).

* Instytut Archeologii Uniwersytetu Rzeszowskiego, ul. S. Moniuszki 10, 35-015 Rzeszów; e-mail: tbochnak@ur.edu.pl; ORCID: 0000-0002-0327-9575



Ryc. 1. Bibracte, Mont Beuvray, sektor Champlain. Lokalizacja wykopów z lat 2013–2019. Ryc. A. Meunier/Bibracte. Podkład ©IGN, 2014
 Fig. 1. Bibracte, Mont Beuvray, Champlain sector. Location of trenches from 2013–2019. Fig. A. Meunier/Bibracte. Base map ©IGN, 2014

univerzita, Brno) przy udziale Gillesa Hamma (CNRS UMR 6298 ArTeHiS), a następnie, od 2017, przez ekipę IA UR, wciąż przy udziale Gillesa Hamma (Bochnak et al. 2014; Goláňová et al. 2013; Goláňová et al. 2015; Goláňová et al. 2016; Bochnak et al. 2019; Bochnak, Hamm 2017; 2022). Koniec badań przewidziano na sezon 2025. Prezentowane tu opracowanie

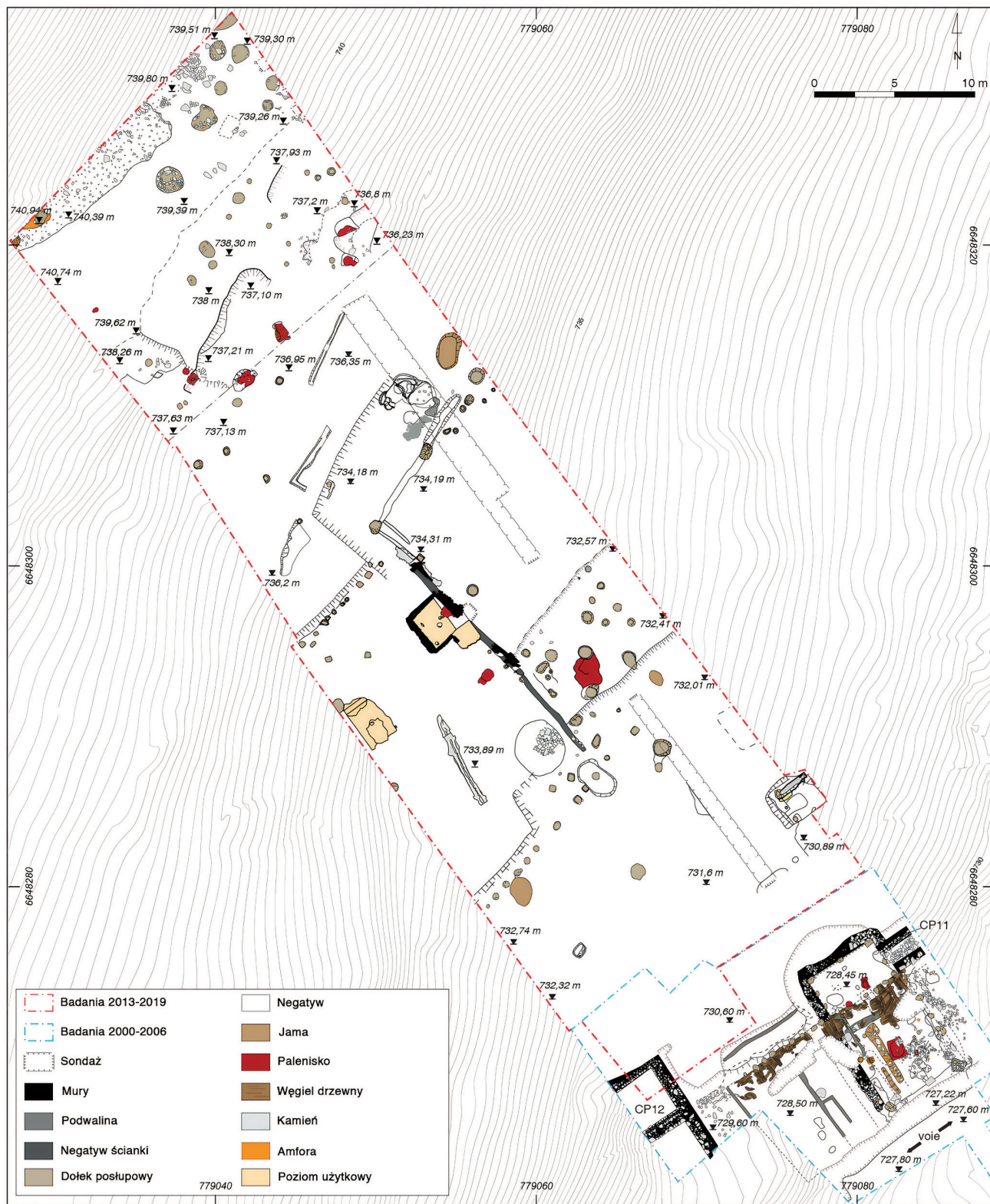
ma charakter wstępny i bazuje przede wszystkim na danych pozyskanych w latach 2013–2019, w uzasadnionych przypadkach uwzględniając też informacje z lat 2023 i 2024² (ryc. 2). W niniejszym tekście skupiamy się na przemianach zasiedlenia sektora Champlain, rezygnując ze szczegółowej charakterystyki każdego obiektu oraz analizy zabytków ruchomych.

SYTUACJA STRATYGRAFICZNA

Wytyczony obszar wykopalisk mierzył 144 m². Po odlesieniu, na stoku kaskadowo zaznaczały się nieregularności mające postać mniej lub bardziej wyraźnych „stopni”; były to ślady starożytnych niwelacji terenu. W obrębie badanego terenu zarejestrowano dwie główne warstwy. Górna warstwa to brązowo-czarny humus, w którym znajdowały się liczne korzenie drzew. Warstwa ta została usunięta za pomocą koparki. Pod warstwą humusu występowała warstwa spływu, koloru brązowego lub brązowo-brunatnego. Miąższość tej warstwy wahała się od kilkunastu do ponad 100 cm. Obserwacje stratygraficzne i wstępna analiza materiału ceramicznego sugerują, że warstwa ta pochodzi z końca funkcjonowania tej części oppidum, z *terminus post quem* (TPQ) około 10 r. p.n.e. (Goláňová et al. 2013,

69). Nie stwierdzono w niej zabytków z okresu galorzymskiego lub młodszych, które – z różną intensywnością – są spotykane w innych sektorach Bibracte. Wspomniana warstwa spływu pokrywała nieliczne warstwy archeologiczne *in situ*, a zwykle spoczywała na calcu, który składa się z żółtej gliny z blokami ryolitu, spoczywającej na zwartej skale łupkowej, widocznej zwłaszcza w szczytowej (północnej) części stanowiska. Taki

² Prezentowany tekst stanowi zmienioną i rozszerzoną wersję raportu zamieszczonego w sprawozdaniu z działalności Centre archéologique Bibracte za rok 2021 (Bochnak, Hamm 2022). W latach 2023 i 2024 prace prowadziła ekipa IA UR i Université de la Sorbonne pod kierownictwem Tomasza Bochnaka i Josefa Wilczka.



Ryc. 2. Bibacte, Mont Beuvray, sektor Champlain. Plan wykopów z lat 2013–2019 oraz kompleks zabudowań badany w latach 2000–2005.
 Rys. A. Meunier/Bibracte, A. Fochesato/Bibracte
 Fig. 2. Bibacte, Mont Beuvray, Champlain sector. Plan view of trenches from 2013–2019 and the complex of buildings studied in 2000–2005.
 Drawing: A. Meunier/Bibracte, A. Fochesato/Bibracte

układ warstw sugeruje, że w przeszłości powierzchnia calca była odsłonięta i narażona na erozję, w wyniku czego doszło do odsłonięcia pokładów łupku.

W warstwie spływu występowały fragmenty amfor, ceramiki, żuźla kowalskiego oraz mniej licznych zabytków metalowych, kamiennych i szklanych, sięgających chronologią stadium LT D1. Z uwagi na znaczne ilości materiału zabytkowego wykonano analizę GIS uwzględniającą rozmieszczenie poszczególnych kategorii znalezisk oraz zmienną grubość warstwy, w której je zarejestrowano³. Dominującą kategorią zabytków pozostaje ceramika. Mimo istnienia rozbudowanego systemu typochronologicznego obejmującego korpus znalezisk ceramicznych z Bibracte (Barrier, Luginbühl 2021), jedynie sporadycznie było możliwe nakreślenie ram chronologicznych węższych niż czas obejmujący odcinek od stadium LT D2b po środkowy okres panowania Augusta. W odniesieniu do materiałów z Bibracte, oznacza to okres od wojny galijskiej po ostatnią dekadę p.n.e. W zasadzie materiał zabytkowy zalegający w obiektach nie pozwala na bardziej precyzyjne określenie chronologii, jednak zależności stratygraficzne oraz zróżnicowanie typów architektury pozwala na wyróżnienie kolejnych faz zasiedlenia sektora Champlain.

Jak wspomniano, już przed ściągnięciem warstwy humusu widoczne były ślady starożytnych niwelacji terenu. Potrzeba zasiedlenia terenu opadającego gwałtownie ku drodze wymuszała konieczność konstrukcji teras – w przybliżeniu poziomych platform, częściowo wciętych w zbocze, a częściowo nadsypanych za pomocą ziemi pozyskanej poprzez wcięcie. Takie konstrukcje były stosunkowo dobrze czytelne w terenie, zwłaszcza po usunięciu młodszych warstw zalegających na powierzchni stanowiska – część wcięta w zbocze miała charakter calca, natomiast część nadsypana była nieco ciemniejsza, bo w jej skład wchodził calec zmieszany z pierwotnym humusem. Zachowane ślady powierzchni użytkowych lub palenisk są rzadkie i zazwyczaj bardzo zniszczone, zwłaszcza w pobliżu krawędzi teras. W podłożu widoczne są natomiast ślady po słupach, podwalinach itp. założeniach negatywowych.

Na stoku sektora Champlain zidentyfikowano pięć szerokich teras posadowionych w podłożu gliniastym (terasy 1–3) lub gliniasto-kamiennym (terasy 4, 5) (ryc. 3). Założenia te zostały odsłonięte jedynie częściowo, bowiem ich krawędzie najczęściej znajdują się poza granicami wykopu. Niektóre ze wspomnianych teras były w starożytności korygowane; w wyniku tych modyfikacji ich poziom został częściowo obniżony o około 10 cm. Ślady tych korekt – wypłaszczeń są znacznie bardziej dyskretne i trudno je wyraźnie rozgraniczyć. Nazwy kolejnych wypłaszczeń składają się z numeru terasy oraz kolejnych liter (terasa 2 miała dwa wypłaszczenia: 2A i 2B, terasa 4 miała takich wypłaszczeń pięć, oznaczonych kolejno od 4A do 4E). Trudno jest rozpoznać wszystkie relacje chronologiczne między terasami, ale przypuszczalnie terasy 1, 2, 3 i 4 mogły zostać wytyczone w ramach wspólnego projektu zagospodarowania tej części oppidum. Terasa 5, częściowo wcięta w skałę, jest młodsza niż terasa 4; jej budowa może być związana z niwelacją wypłaszczenia 2B, ale może też być starsza. Wypłaszczenie 2A jest późniejsze niż terasa 3, a wypłaszczenie 2B jest później-

sze niż wypłaszczenie 2A. Nie jest jednak wykluczone, że po wytyczeniu wypłaszczenia 2B wszystkie wspomniane terasy mogły być zajmowane jednocześnie.

Górna część stanowiska, powyżej terasy 4, jest bardzo zerodowana, a łupki pojawiają się już na niewielkiej głębokości, prawie bezpośrednio pod cienką warstwą humusu. W tym przypadku niewielkie wypłaszczenia zostały wycięte bezpośrednio w skałę. Analiza rozplanowania tej części stanowiska zostanie zakończona w 2025 r.

W obrębie teras zidentyfikowano kilka faz osadnictwa. Mamy zatem do czynienia z sekwencją powstawania teras i korekt polegających na wyznaczaniu wypłaszczeń, oraz z sekwencją faz zasiedlania badanego terenu. Nie jest przy tym możliwe ustalenie kompletnej relacji stratygraficzno-chronologicznej, obejmującej wszystkie przeobrażenia teras i wszystkie fazy ich użytkowania. Udało się nam jednak udokumentować relacje chronologiczne pomiędzy poszczególnymi budowlami na danych terasach. W szczególnych przypadkach zabudowa rozciągała się na dwie sąsiadujące ze sobą terasy (sąsiednie terasy były objęte założeniami powiązаныmi ze sobą konstrukcyjnie). Wydaje się, że nie istniał żaden stały rytm zmian faz zasiedlenia, dlatego nie możemy precyzyjnie zsynchronizować wszystkich przemian wykorzystania teras. Jest jednak bardzo prawdopodobne, że niektóre fazy zabudowy na kolejnych terasach są sobie w znacznym stopniu współczesne⁴.

Poniżej prezentujemy cykl przemian zasiedlenia pięciu kolejnych teras zarejestrowanych w latach 2013–2019.

Terasa 1 (ryc. 3, 4)

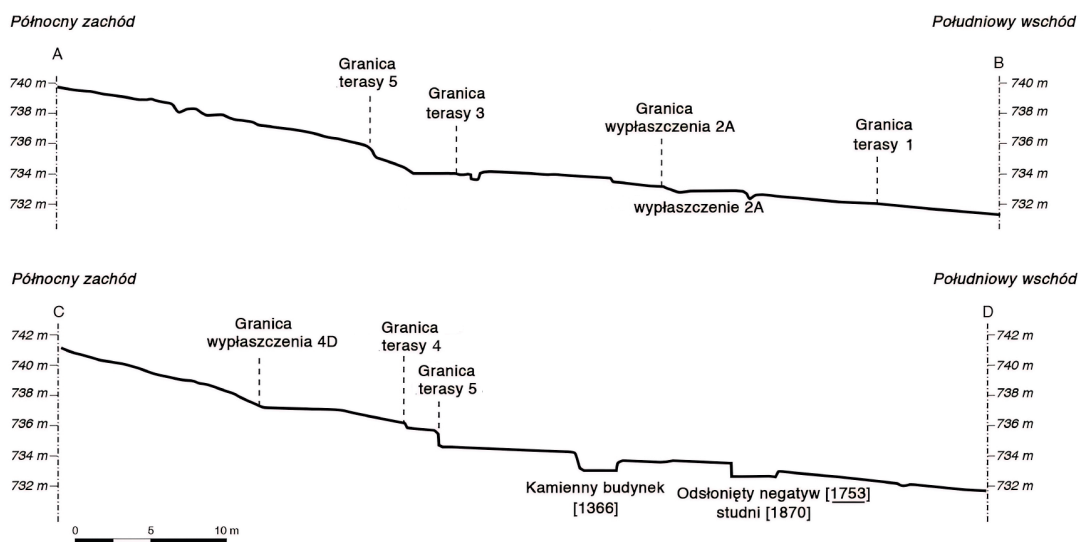
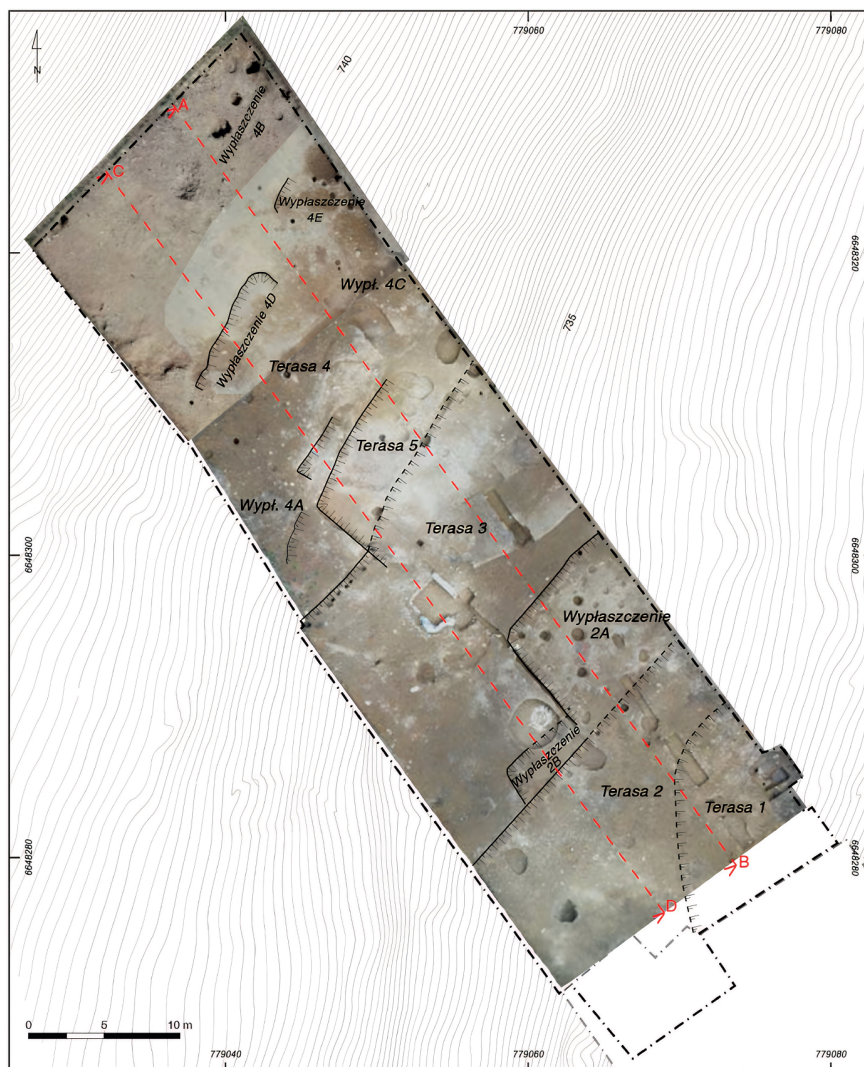
Terasa 1 znajduje się na północ od kompleksu budynków położonych wzdłuż drogi D i badanych przez zespół J.-P. Guillaumeta w pierwszej dekadzie XXI w. Zachowało się tam niewiele śladów zabudowy (Raport 2018, 155). Północna i północno-zachodnia granica terasy 1 nie jest wyraźnie zaznaczona, ale po około 8–10 m jej poziom lekko się podnosi. Ten „stopień” jest prawdopodobnie bardzo zerodowaną krawędzią kolejnego tarasu, opatrzonego numerem 2. W obrębie omawianego założenia zidentyfikowano tylko kilka okrągłych dołków [1737]⁵, [1739], [1777], [1845], [1849].

Na powierzchni terasy 1 niemal brak jest śladów konstrukcji ziemnych, a ewentualne założenia naziemnie nie pozostawiły śladów. Prawdopodobnie było to bezpośrednie zaplecze gospodarcze budynków zlokalizowanych wzdłuż drogi – ciągi komunikacyjne, podwórka, itp. Jedynym znaczącym obiektem jest budynek [1120] wzniesiony równolegle do osi drogi głównej i zlokalizowany przy wschodniej granicy wykopu (ryc. 4, 5). Odsłonięto jedynie niewielką część tej konstrukcji. Jest to budynek częściowo zagłębiony w ziemi, zbudowany z drewna i polepy. Jego pozostałości zostały w dużej mierze naruszone przez korzenie drzew, jednak udało się ustalić podstawowe założenia jego budowy oraz wyznaczyć relacje

⁴ Dla każdej terasy przyjęto odrębną numerację faz zasiedlenia. Terasy były zasiedlane w różnym czasie, więc, przykładowo, faza I terasy 5 nie jest współczesna I fazie terasy 4, natomiast II faza zasiedlenia terasy 2 jest współczesna I fazie terasy 3.

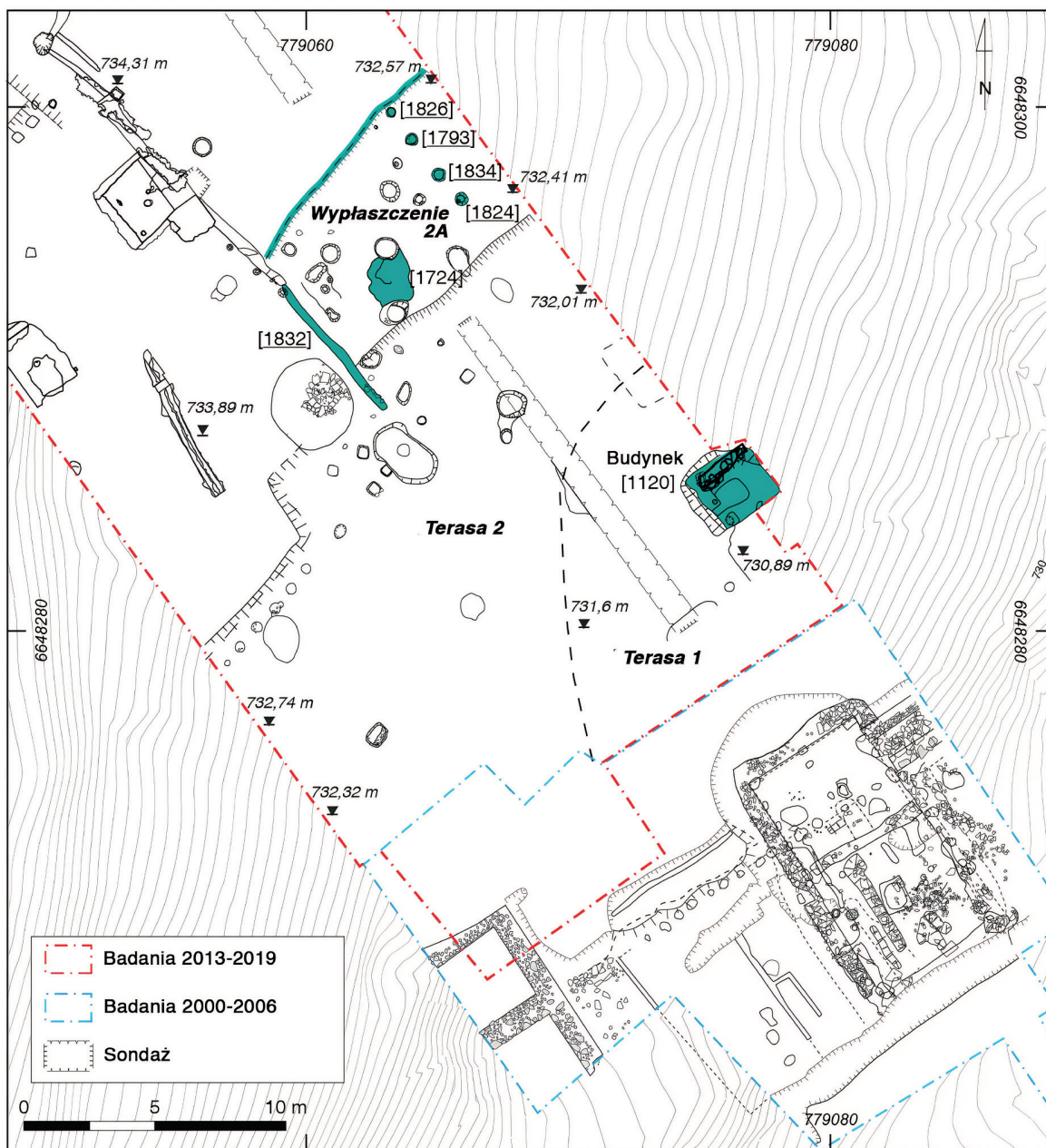
⁵ Przy badaniach na Mont Beuvray obowiązuje system oparty na założeniach E. C. Harrisa (Harris 1989). Zgodnie z przyjętą konwencją, negatywowe jednostki stratygraficzne są oznaczane podkreślonym numerem, a jednostki pozytywowe – numerem bez podkreślenia.

³ Analiza ta nie została jeszcze ukończona z uwagi na brak kompletu informacji odnośnie do ceramiki oraz konieczność uzupełnienia danych z lat 2023–2025.



Ryc. 3. Bibracte, Mont Beuvray, sektor Champlain. Rozmieszczenie teras – stan na koniec sezonów badawczych 2017, 2018, 2019 oraz profile topograficzne. Rys. A. Meunier/Bibracte

Fig. 3. Bibracte, Mont Beuvray, Champlain sector. Distribution of terraces – state at the end of the 2017, 2018, and 2019 research seasons, and topographic profiles. Drawing: A. Meunier/Bibracte



Ryc. 4. Relikty zabudowy terasy 1 i 2, faza I. Rys. T. Bochnak, A. Meunier/Bibracte
 Fig. 4. Remains of structures on terraces 1 and 2, phase I. Drawing: T. Bochnak, A. Meunier/Bibracte

stratygraficzne kolejnych warstw. *Grosso modo*, w obrębie założenia [1120] wyróżniono dwie fazy zabudowy oddzielone warstwą węgla drzewnych i destruktyw.

Faza I

Nie wiemy, kiedy zostały wzniesione zabudowania łączone z pierwszą fazą budynku [1120], jednak jej koniec zapewne przypada na stadium LT D2b, czyli mniej więcej na czas wojny galijskiej. Wspomniany pierwszy etap zabudowy łączy się z funkcjonowaniem poziomego użytkowego, przypuszczalnie związanego z istnieniem konstrukcji drewna i gliny, której ślady nie były jednak uchwytnie na niewielkiej odsłoniętej powierzchni. Poziomy użytkowy został następnie przykryty przez zasypisko przepalonych destruktyw – fragmentów polepy konstrukcyjnej, gwoździ i klamer do drewna

wymieszanych z węglem drzewnym. Nieliczny i mało charakterystyczny materiał ceramiczny nie wyklucza datowania na stadium LT D2b.

Ślady pożaru zidentyfikowane w obrębie budynku [1120] mogą być współczesne podobnym pozostałościom zidentyfikowanym w obrębie kompleksu zabudowań położonych kilkanaście metrów na zachód i badanych przez zespół pod kierownictwem J.-P. Guillaumeta. W przypadku wspomnianego kompleksu, pożar wyznacza koniec III etapu zabudowy wg lokalnej chronologii, synchronizowany ze stadium LT D2b⁶.

⁶ W publikacji wyników badań J.-P. Guillaumeta zachowano pierwotny, tj. stosowany podczas prac wykopaliskowych układ kolejnych etapów zabudowy, w myśl którego kolejne eksplorowane etapy były

Ryc. 5. Bibracte, Mont Beuvray, sektor Champlain. Północno-zachodnia część budynku [1120]. Fot. A. Mailler/Bibracte

Fig. 5. Bibracte, Mont Beuvray, Champlain sector. Northwest part of building [1120]. Photo: A. Mailler/Bibracte



Faza II

Druga faza budynku [1120] łączy się z obecnością częściowo przepalonego poziomu użytkowego i śladami po trzech słupach zidentyfikowanych przy ścianie południowo-zachodniej. Słupy te zostały posadowione powyżej poziomu użytkowego fazy I. W naprzeciwległej, północno-wschodniej ścianie, usytuowanej przy zboczu, konstrukcja była wzmocniona kamieniami. Wypełnisko struktur drugiej fazy zawiera materiał ceramiczny, którego TPQ sięga 10 r. p.n.e. (dno naczynia *terra sigillata* ze stemplem SEX. AVILLI MANI). Wypełnisko można zatem synchronizować z najmłodszym, pierwszym etapem zabudowy kompleksu badanego przez ekipę pod kierownictwem J.-P. Guillaumeta, wyznaczonym przez kamienne budynki oznaczone przez J.-G. Bulliot jako CP 11 i CP 12.

Terasa 2

W przypadku terasy 2 nie uchwycono granicy wschodniej ani zachodniej, bowiem terasa ta jest szersza niż liczący 20 m szerokości wykop. Pierwotnie miała ona zapewne formę zbliżoną do wydłużonego prostokąta, jednak kształt ten został zaburzony przez dwie lokalne modyfikacje – wypłaszczenia określone jako 2A i 2B. Od północy terasa 2 graniczy z terasą 3, a jej północno-wschodnia część płynnie przechodzi w wypłaszczenie 2A. We wschodniej części rysuje się nieznaczne wcięcie (wypłaszczenie 2B), młodsze niż wypłaszczenie 2A. Jest to ślad drugiej korekty terasy, związany z dostosowaniem jej do nowej funkcji. Na terasie 2 zarejestrowano szereg obiektów, które można łączyć z dwiema fazami zasiedlenia, przy czym młodsza, druga faza łączy się z konstrukcjami usytuowanymi na terasie 3.

Faza I – koniec w LT D2b

Jak wspomniano, terasa 2 początkowo zapewne miała kształt zbliżony do czworokąta, z prostymi krawędziami. Nie możemy jednak wskazać żadnej struktury antropogenicznej, która była-

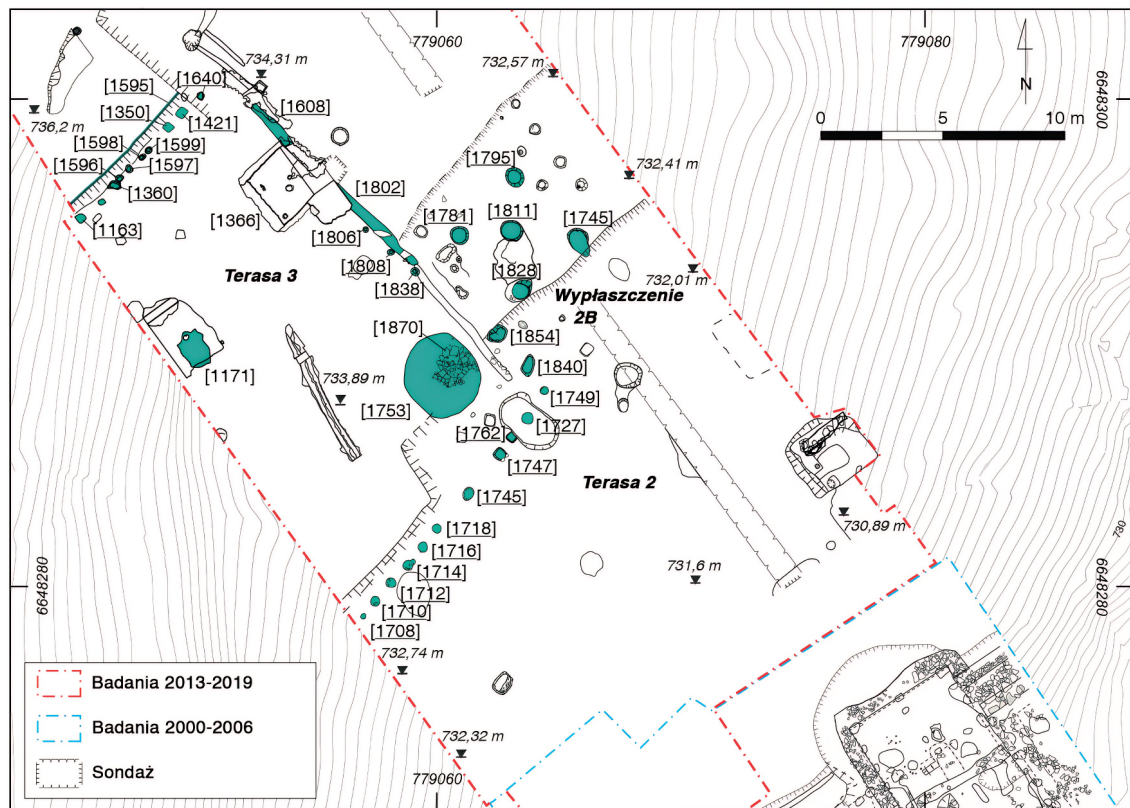
numerowane rosnąco, poczynając od numeru 1, którym oznaczono najmłodszy zadokumentowany etap.

by związana z tym etapem zagospodarowania stoku. Pierwsze ślady związane są z nieznacznym poszerzeniem wschodniej części terasy ku północy, co łączyło się z wcięciem w położoną wyżej terasę 3. Na utworzonym w ten sposób wypłaszczeniu, określonym jako 2A, wzniesiono lekką konstrukcję, wspartą na wkopanej w całość ścianie [1832] po stronie południowo-zachodniej i rzędzie słupów, których ślady [1826], [1973], [1834] i [1824] są widoczne po stronie północno-wschodniej. Północna ściana omawianej konstrukcji pozostawiła ślad w postaci negatywu, biegnącego równoległe do [krawędzi wypłaszczenia 2A. Z pierwszą fazą zasiedlenia terasy 2 łączy się też palenisko [1724], usytuowane pośrodku budynku oraz warstwa destruktywów [1723] zalegająca na powierzchni około 9 m². Trudno jest stwierdzić, kiedy wzniesiono wymienione tu założenia, ale koniec ich funkcjonowania przypada na fazę LT D2b, bowiem w wypełniskach obiektów z fazy I zalega materiał typowy dla tego właśnie stadium chronologicznego. Należy tu zauważyć, że ścianę, której pozostałością jest negatyw [1832] wytyczono wzdłuż osi największego spadku stoku, tym samym dominujący układ budynków w tej części sektora Champlain nie jest już podyktowany kierunkiem przebiegu drogi, lecz dopasowuje się do lokalnych warunków topograficznych.

Być może z I fazą należy też łączyć dużą jamę [1729], znajdującą się w odległości około 0,8 m na południe od negatywu ściany [1831]. W wielofazowym wypełnisku tej jamy osadzono bowiem pewne elementy konstrukcji związanej z fazą II.

Faza II (LT D2b – LT D2b/czasy panowania Augusta) (ryc. 3, 6)

Po porzuceniu struktur związanych z fazą I przeprowadzono powtórny niwelację terasy 2 wraz z częścią wypłaszczenia 2A. Powstała wówczas płaszczyna, określona przez nas jako wypłaszczenie 2B, częściowo zatarła ślady budynku z paleniskiem [1724] i warstwą destruktywów [1723]. Wytyczenie wypłaszczenia 2B, sięgające około 10 cm, jest współczesne wypełnisku [1801] negatywu ścianki [1802], które zawierało materiał typowy dla fazy LT D2b (Bochnak, Hamm 2017, 200).



Ryc. 6. Relikty zabudowy terasy 2, faza II oraz terasy 3, faza I. Rys. T. Bochnak, A. Meunier/Bibracte
 Fig. 6. Remains of structures on terrace 2, phase II, and terrace 3, phase I. Drawing: T. Bochnak, A. Meunier/Bibracte

Z fazą II wiążemy dwa założenia konstrukcyjne. Między nimi nie ma bezpośrednich relacji stratygraficznych, ale ich wzajemne położenie wskazuje, że przez pewien czas były one sobie współczesne, a może nawet zostały założone w ramach wspólnego planu zagospodarowania terasy 2. Chodzi tu o tzw. budowlę na pięciu słupach oraz „zagrodę”, położoną zasadniczo na terasie 3.

BUDOWLA NA PIĘCIU SŁUPACH

W górnej partii warstwy destruktyw [1723], wyróżniono pięć koncentracji kamieni [1725, 1780, 1783=1865, 1794, 1827]. Pod wspomnianymi koncentracjami znajdowało się pięć dużych, kolistych jam [1781], [1745], [1795], [1811] i [1828] o średnicy około 0,8–0,9 m i głębokości około 0,8 m. Cztery jamy tworzyły kształt kwadratu, a piąta była usytuowana pośrodku tak wytyczonego czworokąta. Jama centralna przecięła palenisko [1724], związane z budowlą z fazy I. Regularny układ jam i ich podobieństwo pozwala widzieć w nich pozostałości po słupach otoczonych kamienną obstawą i stanowiących podstawę budynku. Z uwagi na nieznaczne rozmiary budynek ten nie pełnił raczej funkcji mieszkalnych. Mógł to być raczej spichlerz, bowiem zastosowanie słupów utrudniało dostęp gryzoniom. Budowle wzniesione na słupach wymagają dojścia po drabinie lub po schodkach; zapewne część zróżnicowanych jam postłupowych [1864], [1860], [1862] i [1858] zlokalizowanych między zagrodą a budynkiem na pięciu słupach należy wiązać właśnie z tego rodzaju konstrukcją.

Dysponujemy danymi pozwalającymi wyznaczyć *terminus ante quem* (TAQ) użytkowania omawianego założenia, bowiem w wypełniku [1827] słupa [1828] znalazła się cienkościenna ceramika z czasów panowania Augusta oraz fragmenty pucharka Acco (typ Mayet XVII) datowanego na około 30 r. p.n.e.

„ZAGRODA”

Po wytyczeniu wyplaszczania 2B, w północnej części terasy 2 wykopano linię 11 dołków, by osadzić w nich słupy ogrodzenia. Wydaje się, że są one związane z zagospodarowaniem terasy 3 – stanowiły one część zagrody i zapewne do pewnego stopnia wspierały fasadę wspomnianej tu górnej terasy. Takie rozwiązanie nie jest zaskakujące – dołki usytuowane wyżej, tj. na krawędzi terasy 3, osłabiały jej strukturę i ogrodzenie mogłoby runąć wskutek podmycia. Przypomnijmy, że badania J.-P. Guillaumeta wykazały, że w części sektora Champlain usytuowanej wzdłuż drogi, budynki z następujących po sobie faz lokowano coraz dalej od zbrocza, zapewne by zapobiec podmywaniu przez spływającą wodę. Sześć dołków postłupowych wzdłuż terasy ([1708], [1710], [1712], [1714], [1716], [1718]) zostało rozmieszczonych bardzo regularnie, podczas gdy kolejne, usytuowane przy wyplaszczaniu 2A ([1745], [1747], [1762], [1727] i [1749]) są rozlokowane w sposób nieco mniej uporządkowany.

Dołek postłupowy [1727] został wydrążony w wypełniku [1728] starszego, większego obiektu [1729], które obejmowało

ponadto jamę [1751] wypełnioną kamieniami [1763]. Możliwe, że dołek posłupowy [1743], znajdujący się na tej samej osi, również stanowił część omawianego tu zgrupowania. Ułożone w jednej linii dołki posłupowe zadokumentowano na odcinku długości około 12 m, przy czym prawdopodobnie linia ta kontynuuje się w kierunku zachodnim, sięgając poza zachodnią granicę wykopu. Opisywany tu układ dołków posłupowych oraz kolejne dwa obiekty tego typu, tj. usytuowane nieco dalej na północ, już w obrębie wypłaszczenia, dołki [1854] i [1840] to zapewne pozostałości południowej części ogrodzenia „zagrody” rozpościerającej się przede wszystkim na terasie 3, w I fazie jej zasiedlenia (por. poniżej).

Wzajemne usytuowanie zagrody i budowli na pięciu słupach pozwala przypuszczać, że struktury te funkcjonowały jednocześnie. Jak zaznaczyliśmy, niektóre z dołków posłupowych [1864], [1860], [1862], [1858] usytuowanych między zagrodą i wspomnianym budynkiem na słupach mogą stanowić pozostałości drabiny lub schodów.

Dysponujemy pewnymi danymi pozwalającymi na wydatowanie budowli wzniesionej na pięciu słupach i „zagrody”. Jeśli przyjmiemy, że założenia te są sobie współczesne (a jest to najbardziej prawdopodobna opcja), to musiał pomiędzy nimi istnieć poziom użytkowy, w miarę możliwości płaski i pozbawiony przeszkód utrudniających komunikację. Musiano zatem zasypać rowek stanowiący pozostałość po ścianie [1832] konstrukcji z fazy I. Wypełnisko to, oznaczone jako [1831], zawiera materiał typowy dla fazy LT D2b. Jest to zarazem TPQ dla założenia kompleksu złożonego z „zagrody” i budynku na pięciu słupach. W wyznaczeniu TAQ pomocne są konstrukcje kamienne przecinające „zagrodę” na terasie 3, które w tej części oppidum Bibracte są typowe dla środkowej części okresu panowania Augusta.

Terasa 3

Obiekty zarejestrowane na terasie 3 można łączyć z dwiema fazami zasiedlenia, przy czym starsza z nich (faza I), łączy się integralnie z założeniami fazy II z terasy 2.

Faza I (LT D2b-LT D2b/czasy panowania Augusta) (ryc. 3, 6)

Pierwsza faza zabudowy terasy 3 łączy się z funkcjonowaniem „zagrody”, o której wspomnieliśmy powyżej, omawiając przemiany, które miały miejsce na terasie 2. Omawiana „zagroda” zajmuje niemal całość odsłoniętej partii terasy 3 oraz część terasy 2 z wypłaszczeniami 2A i 2B. Północną granicę wyznacza linia [1595] dołków posłupowych [1163, 1360, 1596, 1597, 1598, 1599, 1350, 1421, 1640], biegnących równoległe do podobnej linii zarejestrowanej w odległości około 18 m na południe, na terasie 2. Od wschodu „zagrodę” domykają obecnie negatywy ścianki [1608] i [1802] oraz być może dołki posłupowe [1854] i [1840]. Wspomniane negatywy [1608] i [1802] pierwotnie stanowiły jedno założenie, przecięte w późniejszym czasie przez piwniczkę [1265=1366] o ścianach z kamieni.

Przy południowym końcu rowka [1802] zarejestrowano trzy dołki posłupowe [1806], [1808] i [1838]. Ich skromne rozmiary wskazują, że istniała tu lekka konstrukcja mająca na celu głównie rozgraniczenie przestrzeni. Mamy zatem do czynienia z „zagrodą”, w przypadku której dwa boki, północny i południowy, uchwycono częściowo (odpowiednio, na odcinkach długości około 8 i 12 metrów), a jeden, wschodni, zadokumen-

towano w całości. Wschodni bok składałby się ze ścianki osadzonej w płytkim wykopie i wzmocnionej trzema niewielkimi słupami, następnie wolnej przestrzeni umożliwiającej dostęp do budowli na pięciu słupach, a następnie płotka (?), po którym pozostały trzy dołki posłupowe ([1854, 1840, 1749]). Ostatni ze słupów, [1749], wchodził zarazem w skład południowego boku zagrody.

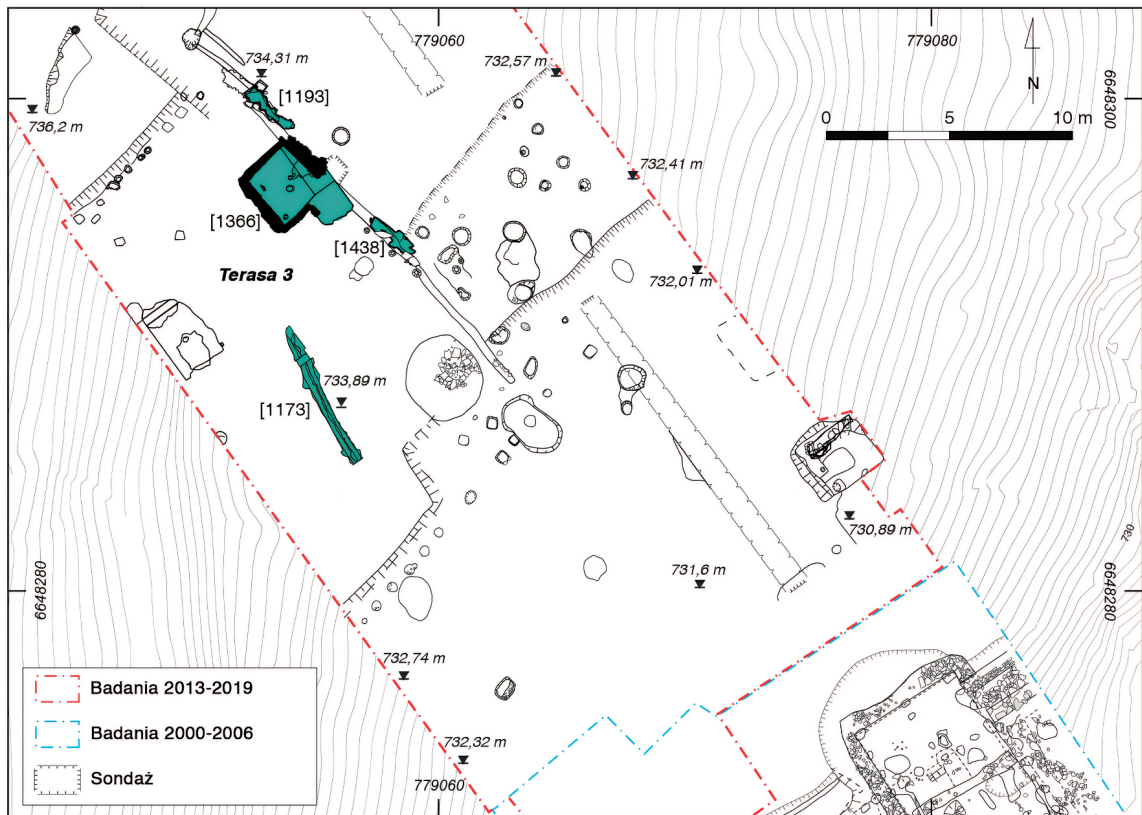
Podobnie jak w przypadku wspomnianego wyżej budynku wzniesionego na terasie 2 w fazie I (budowla z paleniskiem [1724] i warstwą destruktyw [1723]), również w przypadku „zagrody” dostosowano usytuowanie założenia do stoku. Ponieważ jednak w tym miejscu stok ten nieco zmienia kierunek nachylenia, to oś wyznaczona przez negatywy ścianki [1608] i [1802] nieznacznie odbiega od osi, według której wytyczono plan budynku z paleniskiem [1724].

W obrębie „zagrody” zarejestrowano kilka obiektów, jednak nie mają one bezpośredniej relacji stratygraficznej z ogrodzeniem. Z uwagi na znalezione w ich wypełniskach zabytki ruchome, możliwe jest jednak łączenie wspomnianych założeń z „zagrodą”. Mamy tu na myśli przede wszystkim studnię [1753] z cembrownią [1870] oraz pozostałości paleniska [1186]. Studnia [1753] nie była eksplorowana. Przykłady innych znanych z Bibracte studni wskazują, że należy liczyć się tu z szybem głębokości kilkunastu metrów, być może znajdującym się wciąż w warstwie wodonośnej. Eksplorację takich obiektów powierza się wyspecjalizowanym firmom, po uprzednim zapewnieniu funduszy na interdyscyplinarne analizy materiału zabytkowego. Jak wspomniano powyżej, wytyczenie i użytkowanie „zagrody” musiało się łączyć z uprzednim zasypaniem obiektów z poprzedniej fazy zasiedlenia terasy 2. Koniec jej funkcjonowania przypada na okres poprzedzający wzniesienie kamiennych murów założeń typowych dla czasów panowania Augusta, zarejestrowanych na terasie 3 i łączonych z drugą fazą jej zasiedlenia.

Faza II (starszy odcinek panowania Augusta – środkowy odcinek panowania Augusta) (ryc. 3, 7)

Najbardziej znaczącym obiektem z II fazy zasiedlenia terasy 3 jest zagłębiona w ziemi konstrukcja o kamiennych ścianach [1265=1366] (ryc. 8) (Goláňová et al. 2015, 47–51, Ryc. 8–14; Goláňová et al. 2016, 58–59, Ryc. 3, 10–12). Jej porzucenie i częściowa destrukcja przypada na środkowy okres panowania Augusta, z TPQ wyznaczonym na 15 r. p.n.e. dzięki zabytkom ruchomym pochodzącym z warstwy zasypiskowej. Konstrukcja ta przypomina nieco budynek odkryty w 1867 r. przez J.-G. Bulliot (Bulliot 1899, 271–272), a jej rozmiary przywodzą na myśl założenia odkryte w sektorze Côte Chaudron przez J.-G. Bulliot i eksplorowane przez ekipę J.-P. Guillaumeta, a następnie P. Goláňová i T. Bochnaka. Były to niewielkie budowle określone przez J.-G. Bulliot jako CC19 (chatka złotnika), CC19bis (chatka emaliera) i CC19D – wszystkie wyznaczają najniższy horyzont osadnictwa w sektorach Champlain Côte Chaudron (Guillaumet 2009; Bochnak et al. 2012). Wbrew interpretacjom J.-G. Bulliot, w żadnym z przywołanych tu obiektów nie stwierdzono współczesnych im śladów działalności rzemieślniczej.

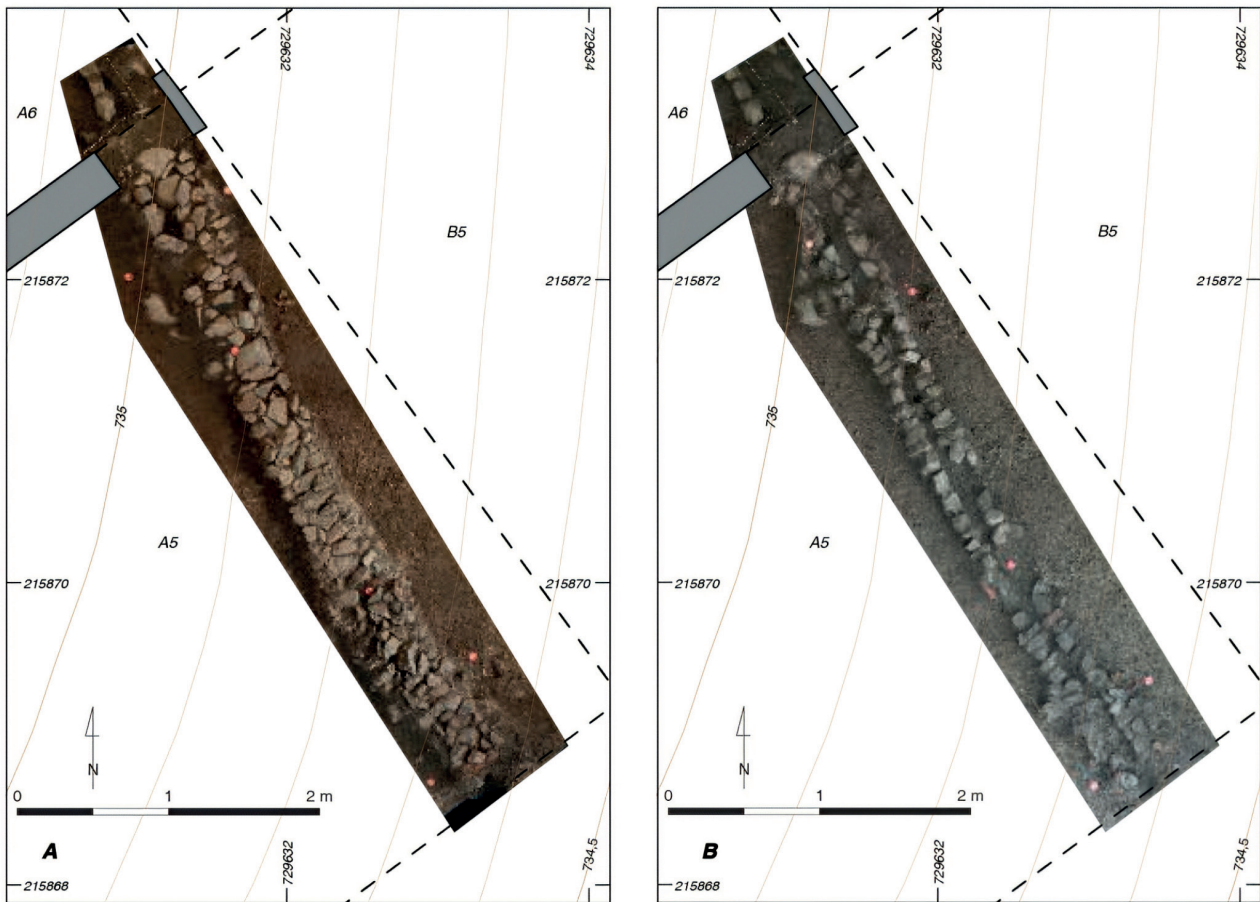
Do tej samej, drugiej fazy zasiedlenia terasy 3 należy też zaliczyć niewielkie ślady murków ułożonych z kamieni pozbawionych zaprawy [1193], [1438]. Przypuszczalnie na początek



Ryc. 7. Relikty zabudowy terasy 3, faza II. Rys. T. Bochnak, A. Meunier/Bibracte
 Fig. 7. Remains of structures on terrace 3, phase II. Drawing: T. Bochnak, A. Meunier/Bibracte



Ryc. 8. Bibracte, Mont Beuvray, sektor Champlain. Budynek [1265=1366], widok od północnego zachodu. Fot. A. Mailler/Bibracte
 Fig. 8. Bibracte, Mont Beuvray, Champlain sector. Building [1265=1366], view from the northwest. Photo: A. Mailler/Bibracte



Ryc. 9. Bibracte, Mont Beuvray, sektor Champlain. Kamienna struktura [1127=1173] – „kanalik”. A – widok przed zdjęciem górnej warstwy kamieni; B – widok po zdjęciu górnej warstwy kamieni. Wg Bochnak et al. 2016

Fig. 9. Bibracte, Mont Beuvray, Champlain sector. Stone structure [1127=1173] – “channel”. A – view before removing the upper layer of stones; B – view after removing the upper layer of stones. According to Bochnak et al. 2016

II fazy należy też datować zagadkową, kamienną konstrukcję przypominającą niewielki kanalik [1127=1173] (ryc. 9). Obiekt ten zawierał niewiele materiału; nieliczne fragmenty ceramiki i amfor oraz dwa fragmenty przedmiotów żelaznych, a kontekst wskazywał, że materiał ten pochodzi z okresu budowy, a nie użytkowania bądź porzucenia kanalika. Znajdźiska te pozwalają na datowanie omawianego założenia na koniec fazy LT D2b lub początku okresu panowania Augusta (Bochnak et al. 2014, 47, 48, Ryc. 4, 7; Goláňová et al. 2015, 50, 53, Ryc. 5, 9). Zbliżony sposób budowy sugeruje, że omawiana tu struktura jest współczesna kamiennym konstrukcjom z czasów panowania Augusta.

Terasa 4

Terasa 4 to najbardziej czytelna formacja antropogeniczna w obrębie badanego wycinka sektora Champlain. Wznosi się ona na około 3 m ponad terasy 3 i 5. Jest ona zbudowana częściowo z utworów gliniastych, a częściowo z łupków. W zachodniej części wykopu miała miejsce intensywna erozja, wskutek czego warstwy archeologiczne są stosunkowo cienkie; liczą po kilkanaście centymetrów. Z uwagi na mieszany charakter budowy geologicznej i znaczne nachylenie, sięgające 17%, terasa została zniwelowana w znikomym stopniu. W jej obrębie można jednak wyróżnić pięć wypłaszczeń (4A-

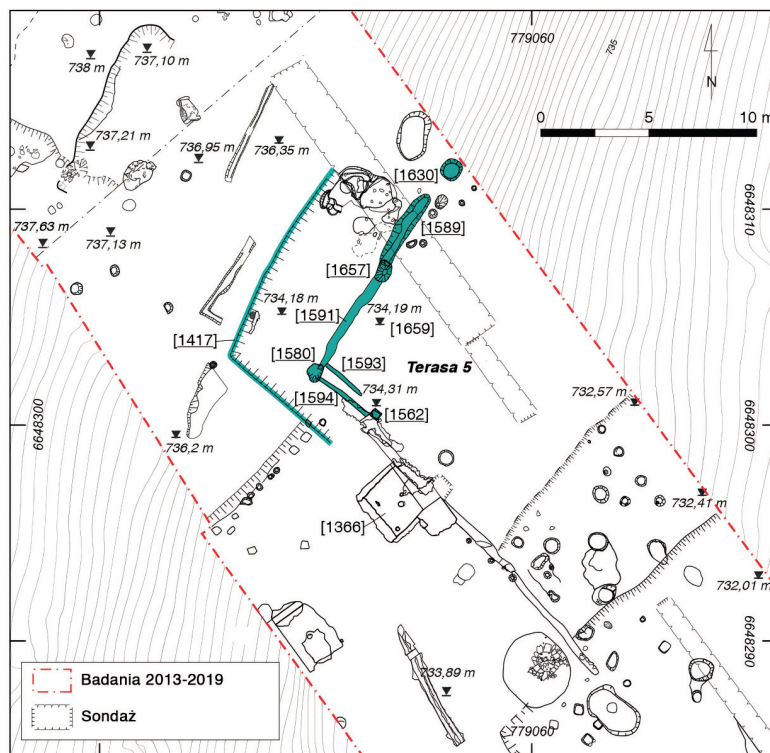
4E), które w wybranych miejscach pozwalały na skromną zabudowę. Niestety, nie jest możliwe określenie ich chronologii relatywnej ani momentu powstania. Wypłaszczenia te mogą być jednak starsze niż najwcześniejsze obecnie zarejestrowane ślady zasiedlenia w obrębie terasy 4.

Faza 1 (LT D2) (ryc. 3, 10)

W fazie I wycięto wypłaszczenia 4A-4C. Z fazą tą łączymy też słabo zachowane ślady konstrukcji zniszczonych przy wykonywaniu terasy 5, tj wypłaszczenie 4A oraz fragment negatywu obiektu [1408], jak również struktury starsze niż II faza zasiedlenia wypłaszczenia 4C. Niestety, nie ustalono relacji stratygraficznych pomiędzy poszczególnymi strukturami z fazy I. Wypłaszczenie 4A zostało w swojej części południowo-zachodniej przecięte przez terasę 5, natomiast w partii wschodniej uległo silnej erozji. Jedyne zachowane obiekty to dołek posłupowy [1525] zlokalizowany na skraju wypłaszczenia. Być może dołek ten pozostaje w relacji z fragmentarycznie zachowanym dołkiem [1408] z terasy 5, ale obecnie nie możemy potwierdzić tej hipotezy.

Wypłaszczenie 4B, odsłonięte tylko częściowo, znajduje się w północnym narożniku wykopu. Zostało ono wycięte bezpośrednio w skale macierzystej.

Ryc. 12. Relikty zabudowy terasy 5. Rys. T. Bochnak, A. Meunier/Bibracte
 Fig. 12. Remains of structures on terrace 5. Drawing: T. Bochnak, A. Meunier/Bibracte



gia budowy [1659] nie została precyzyjnie określona. Należy jednak zauważyć, że jej granice korespondują z „zagrodą” z terasy 3; nigdzie jej nie przecinają, a częściowo biegną równoległe. Co ciekawe, kwadratowy budynek o kamiennych ścianach [1265=1366], który częściowo przecina struktury „zagrody”, nie narusza granic konstrukcji [1659]. Należy tu przypomnieć, że zagroda z terasy 3 funkcjonowała w stadium LT D2b oraz w początkach okresu panowania Augusta, podczas gdy porzu-

cenie kwadratowego budynku z kamienia (wzniesionego na tej samej terasie) przypada na środkowy okres rządów tego władcy. Można zatem z pewną ostrożnością przyjąć, że konstrukcja [1659] powstała najpóźniej w początkach panowania Augusta, gdy jeszcze funkcjonowała „zagroda”, następnie była wykorzystywana równoległe z kwadratowym budynkiem o kamiennych ścianach [1265=1366], a została porzucona po dwóch–trzech dekadach lub szybciej.

CHRONOLOGIA

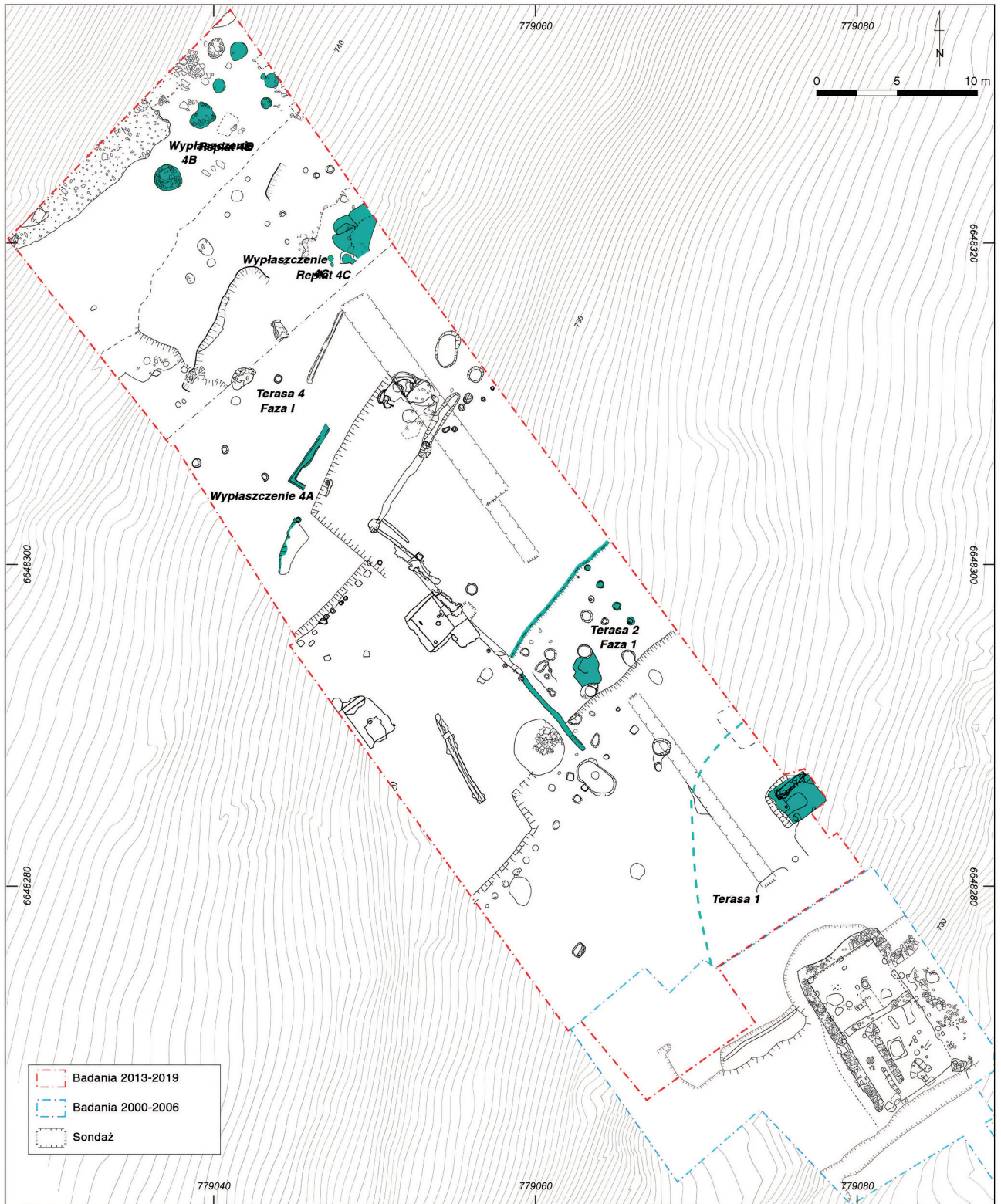
Należy sądzić, że mimo stosunkowo złego stanu zachowania obiektów nieruchomych zarejestrowanych na stoku Champlain i nielicznych pewnych relacji stratygraficznych, obiekty zadokumentowane w latach 2013–2019 można łączyć z trzema kolejnymi etapami zasiedlenia (ryc. 13).

Obecnie nie potrafimy stwierdzić, kiedy zaczyna się pierwszy etap (ryc. 14). Wprawdzie w warstwie spływu pokrywającej niemal całą badaną powierzchnię występowały zabytki typowe dla stadium LT D1, jak fragmenty późnych typów

szklanych bransolet i zapinki typu Nauheim, ale nie natrafiono na żaden obiekt, który można by datować tak wcześnie. Jesteśmy natomiast w stanie stwierdzić, że pierwszy uchwytany etap osadnictwa w sektorze Champlain kończy się w fazie LT D2b. Z etapem tym łączymy niektóre założenia z terasy 2 i 4. Najpewniej były one związane z działalnością metalurgiczną; wskazują na to paleniska, znaleziska żużla i zendry. Jednocześnie, nie można też wykluczyć istnienia budynków mieszkalnych, bowiem znaczna część materiału zabytkowego

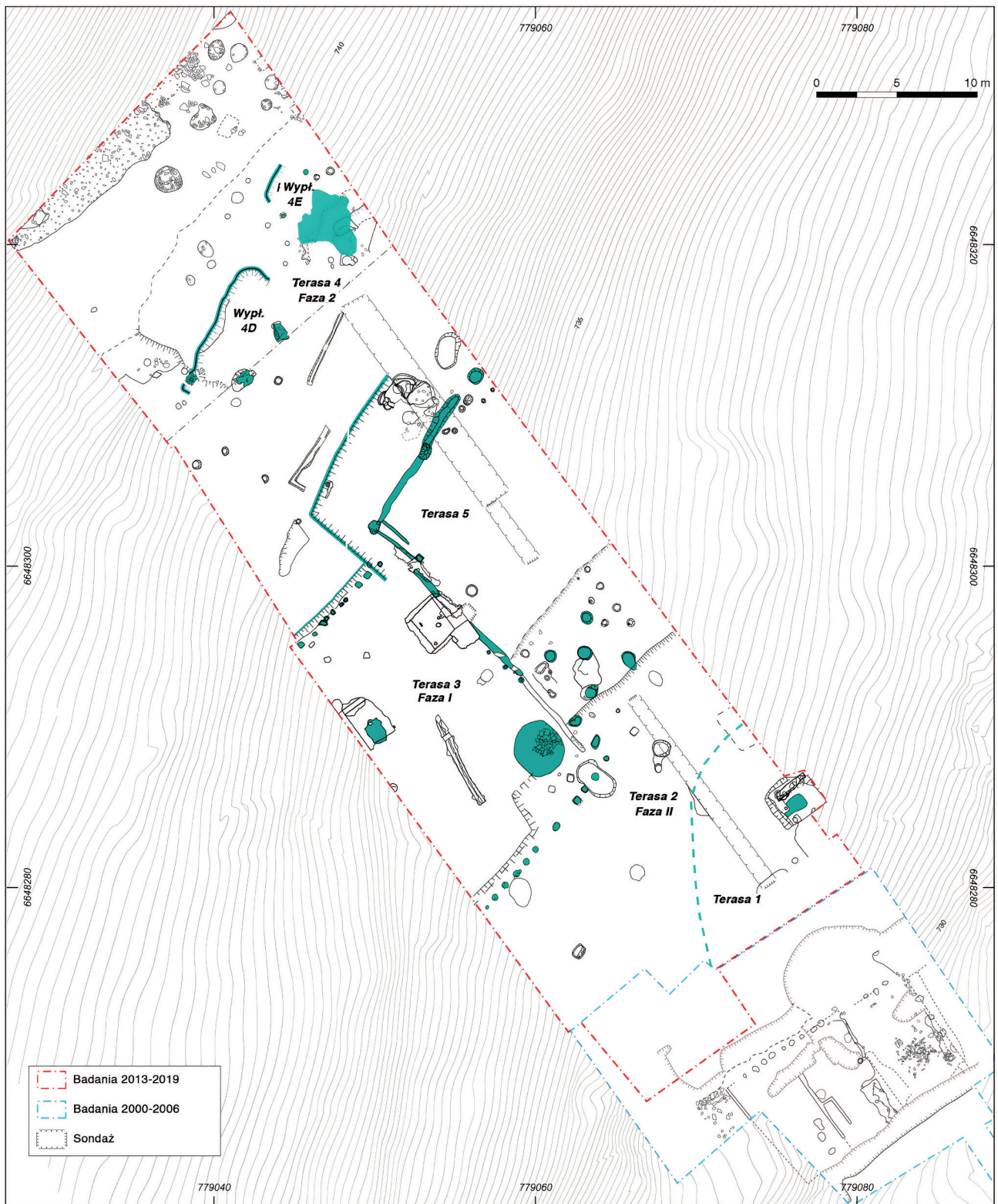
	Terasa 1	Terasa 2	Terasa 3	Terasa 4	Terasa 5
LT D2b	Faza I	2A faza I		4A-4C Faza I	
LT D2b/środkowy okres panowania Augusta	Faza I lub II	2B faza II	Faza I	4D, 4E Faza II	Faza I?
Środkowy okres panowania Augusta	Faza II		Faza II		Faza I?

Ryc. 13. Bibracte, Mont Beuvray, sektor Champlain. Schemat sekwencji stratygraficznych na terasach 1–5
 Fig. 13. Bibracte, Mont Beuvray, Champlain sector. Diagram of stratigraphic sequences on terraces 1–5



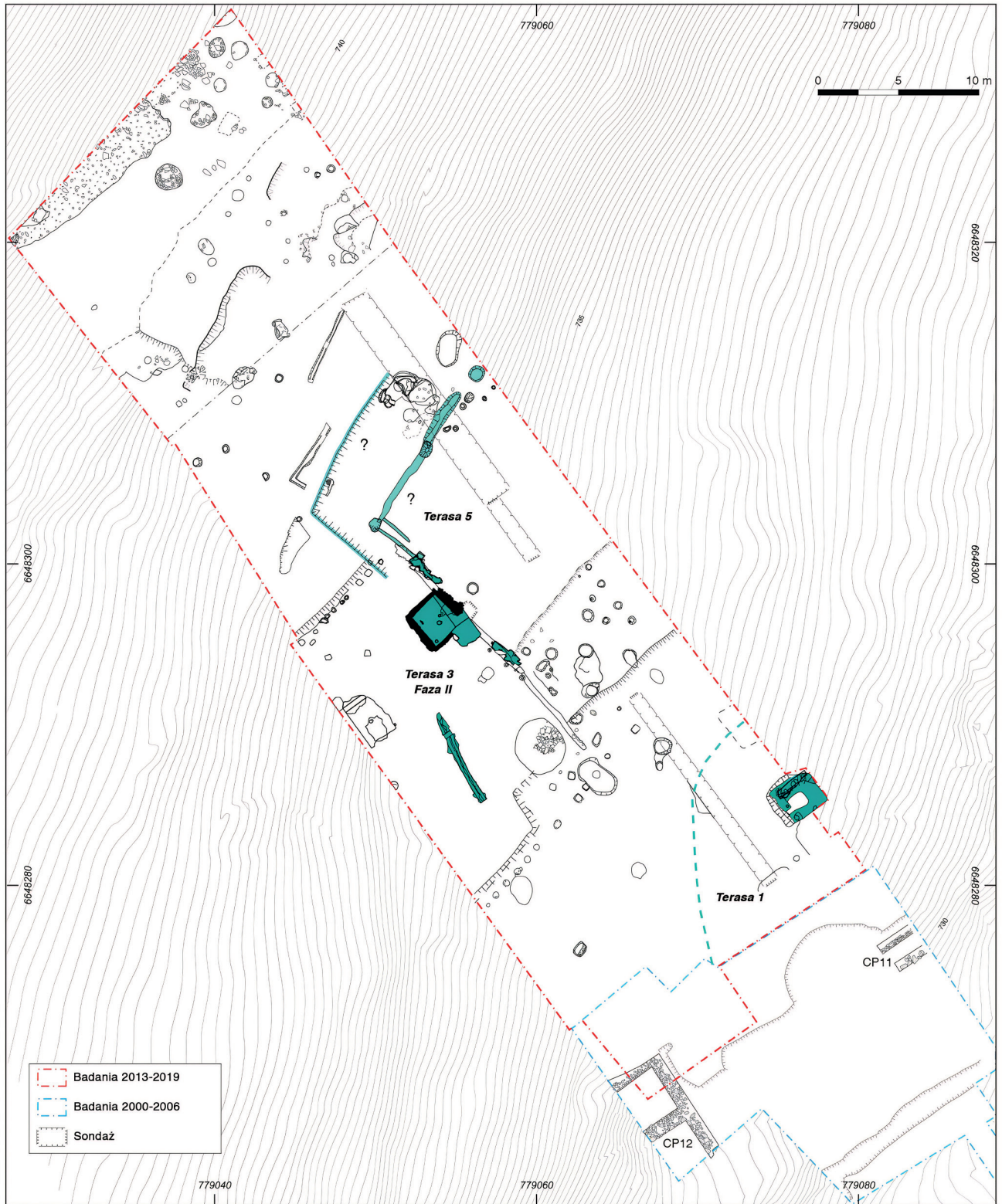
Ryc. 14. Bibracte, Mont Beuvray, sektor Champlain. Plan ogólny w pierwszym etapie zasiedlenia (koniec w fazie LT D2B). Rys. T. Bochnak, A. Meunier/Bibracte

Fig. 14. Bibracte, Mont Beuvray, Champlain sector. General plan in the first settlement stage (ending in phase LT D2B). Drawing: T. Bochnak, A. Meunier/Bibracte



Ryc. 15. Bibracte, Mont Beuvray, sektor Champlain. Bibracte, Mont Beuvray, sektor Champlain. Plan ogólny w drugim etapie zasiedlenia (LT D2B–starszy odcinek panowania Augusta). Rys. T. Bochnak, A. Meunier/Bibracte

Fig. 15. Bibracte, Mont Beuvray, Champlain sector. General plan in the second settlement stage (LT D2B–early period of Augustus' reign). Drawing: T. Bochnak, A. Meunier/Bibracte



Ryc. 16. Bibracte, Mont Beuvray, sektor Champlain. Bibracte, Mont Beuvray, sektor Champlain. Plan ogólny w trzecim etapie zasiedlenia (koniec w środkowym odcinku panowania Augusta). Rys. T. Bochnak, A. Meunier/Bibracte

Fig. 16. Bibracte, Mont Beuvray, Champlain sector. General plan in the third settlement stage (ending in the middle period of Augustus' reign). Drawing: T. Bochnak, A. Meunier/Bibracte

ma charakter typowych inwentarzy osadowych. Pewne wątpliwości budzi datowanie starszej fazy budynku [1120] na terasie I, która może też wiązać się z etapem 2. Biorąc jednak pod uwagę potwierdzoną intensywność zabudowy sektora Champlain w bezpośrednim sąsiedztwie drogi (a tam znajduje się omawiany tu budynek [1120], to trudno przyjąć, by wzniesiono go dopiero w stadium LT D2b, na niezabudowanej wcześniej działce. Prócz tej przesłanki nie mamy jednak argumentów na poparcie hipotezy o nieco starszej chronologii.

Drugi etap zasiedlenia jest datowany na stadium LT D2b oraz starszy odcinek panowania Augusta (ryc. 15). Zapewne użytkowano wówczas budynek [1120] na terasie 1. W tym czasie powstała też „zagroda” na terasach 2 i 3. Funkcjonowały również młodsze założenia na terasie 4, przeciętej już przez terasę 5, na której wzniesiono dużą konstrukcję [1659], która przetrwała do trzeciego etapu zasiedlenia. Brak jest ewidentnych śladów działalności metalurgicznej.

Trzeci i ostatni etap zasiedlenia sektora Champlain trwa po środkowy okres panowania Augusta (ryc. 16). W tym cza-

sie obserwujemy pewne rozrzedzenie zabudowy. Na terasie 3 powstaje nieduży, wkopany w grunt kwadratowy budynek o kamiennych ścianach oraz kamienny „kanalik” o niestalonej funkcji. Są to świadectwa romanizacji architektury oppidum. Możliwie, że funkcjonował wówczas jeszcze budynek [1120], reprezentujący starsze tradycje architektoniczne.

Badania w sektorze Champlain nie zostały jeszcze zakończone. Dysponujemy danymi pozwalającymi na synchronizację cyklu osadniczego omawianego terenu z bardziej intensywnymi przemianami kompleksu budynków położonych wzdłuż drogi, ale nasze ustalenia będą mogły być w pełni potwierdzone w momencie, gdy prace planowane na 2025 rok sięgną niemal szczytu wzgórza, gdzie w miejscu zwanym Theurot de la Wivre odsłonięto słabo zachowane pozostałości założeń z końca okresu niezależności celtyckiej oraz początków panowania Augusta. Dopiero wówczas uzyskamy pełniejszy obraz przemian zasiedlenia stoku Champlain.

WYKAZ CYTOWANEJ LITERATURY

Barrier S., Luginbühl T. 2021. *La vaisselle céramique de Bibracte. De l'identification à l'analyse* (= Collection Bibracte 31). Glux-en-Glenne: Bibracte Centre archéologique européen.

Bochnak T. 2021. Bibracte. Największe miasto celtyckiej Galii. *Archaeologia Żywa* 2/21 (80), 40–49.

Bochnak T., Hamm G. 2017. Le quartier du Champlain. W: V. Guichard (red.), *Rapport intermédiaire 2017 du programme quadriennal de recherche 2017–2020 sur le mont Beuvray*, 187–204. Glux-en-Glenne: Bibracte Centre archéologique européen.

Bochnak T., Hamm G. 2022. Le quartier du Champlain. W: V. Guichard (red.), *Rapport annuel 2021 du programme pluriannuel de recherche 2017–2021 sur le mont Beuvray*, 121–136. Glux-en-Glenne: Bibracte Centre archéologique européen.

Bochnak T., Kulikowska K. 2015. 2005–2014 – dziesięć lat polsko-czeskich badań archeologicznych na Mont Beuvray-Bibracte. W: D. Waszak (red.), *Celtica. Studia z dziejów Celtów* 3, 58–78. Kalisz–Warszawa: Tetragon.

Bochnak et al. 2012 = Bochnak T., Goláňová P., Hamm G. 2012. La Côte Chaudron. W: V. Guichard (red.), *Bibracte, programme de recherches sur le mont Beuvray. Rapport annuel 2012*, 17–54. Glux-en-Glenne: Bibracte Centre archéologique européen.

Bochnak T. et al. 2014 = Bochnak T., Filipová M., Hamm G., Wawer M. 2014. *Le quartier du Champlain*. W: V. Guichard (red.), *Bibracte, programme de recherches sur le mont Beuvray. Rapport intermédiaire 2014*, 43–60. Glux-en-Glenne: Bibracte Centre archéologique européen.

Bochnak et al. 2019 = Bochnak T., Hamm G., Wawer M., Skowron K. 2019. Le quartier du Champlain. W: V. Guichard (red.), *Rapport intermédiaire 2018 du programme quadriennal de recherche 2017–2020 sur le mont Beuvray*, 148–165. Glux-en-Glenne: Bibracte Centre archéologique européen.

Bochnak T., Skowron K. 2017. Bibracte – współczesna historia celtyckiego oppidum. *UR Journal of Humanities and Social Sciences* 2(3), 5–33.

Bulliot J.-G. 1899. *Fouilles du Mont Beuvray (ancienne Bibracte) de 1867 à 1895* (2. vol). Autun: Imprimerie et librairie Dejussieu.

Guillaumet J. P., Dhennequin L. 2008. Les ateliers du métal et leur production. W: L. Dhennequin, J.-P. Guillaumet, M. Szabó (red.), *Loppidum de Bibracte (Mont Beuvray, France). Bilan de 10 années de recherches (1996–2005)* (= Acta Archaeologica Academiae Scientiarum Hungaricae 59, fasc. 1, 1–152), 68–77. Budapest.

Goláňová P. et al. 2013 = Goláňová P., Wawer M., Hamm G. 2013. *Le quartier du Champlain*. W: V. Guichard (red.), *Bibracte, programme de recherches sur le mont Beuvray. Rapport intermédiaire 2013*, 64–78. Glux-en-Glenne: Bibracte Centre archéologique européen.

Goláňová et al. 2015 = Goláňová P., Bochnak T., Wawer M., Hamm G., Filipová M., Zeman J., Prištáková M. 2015. Le quartier du Champlain. W: V. Guichard (red.), *Bibracte, programme de recherches sur le mont Beuvray. Rapport intermédiaire 2015*, 37–56. Glux-en-Glenne: Bibracte Centre archéologique européen.

Goláňová et al. 2016 = Goláňová P., Bochnak T., Wawer M., Hamm G., Filipová M., Zeman J., Prištáková M. 2016. Le quartier du Champlain. W: V. Guichard (red.), *Bibracte, programme quadriennal 2013–2016 de recherches sur le mont Beuvray, rapport annuel 2016*, 49–72. Glux-en-Glenne: Bibracte Centre archéologique européen.

Guichard V. 2007. Chronique des recherches sur le Mont Beuvray, 2003–2005. *Revue Archéologique de l'Est* 56, 127–152.

Guillaumet J.-P. et al. 2006 = Guillaumet J.-P., Dhennequin L., Bochnak T., Goláňová P., Mölders D. 2006. Wyniki badań wykopaliskowych na celtyckim oppidum Mont Beuvray/Bibracte (dep. Saône-et-Loire i Nièvre), w sektorach Côte Chaudron i Champlain, w roku 2005. *Materiały i Sprawozdania Rzeszowskiego Ośrodka Archeologicznego* 27, 267–280.

Guillaumet J.-P. et al. 2007 = Guillaumet J.-P., Dhennequin L., Bochnak T., Egloff F., Goláňová P. 2007. Wyniki badań wykopaliskowych na oppidum Mont Beuvray/Bibracte (sektory Côte Chaudron i Champlain) w roku 2006. *Materiały i Sprawozdania Rzeszowskiego Ośrodka Archeologicznego* 28, 141–158.

Guillaumet J. P. 2008 = Guillaumet J.-P., Dhennequin L., Bochnak T., Goláňová P. 2008. Wyniki badań wykopaliskowych zespołu pracowników rzemieślniczych Côte Chaudron na terenie oppidum Bibrac-

te (Mont Beuvray, departamenty Nièvre i Saône-et-Loire), w roku 2007. *Materiały i Sprawozdania Rzeszowskiego Ośrodka Archeologicznego* 29, 215–228.

Guillaumet J.-P. 2009. Le quartier de la Côme Chaudron. Synthèse 2006–2008. W: V. Guichard (red.), *Bibracte, Centre archéologique européen, rapport d'activité 2008*. 108–133. Glux-en-Glenne: Bibracte Centre archéologique européen.

Milo P. et al. 2017 = Milo P., Tencer T., Vagner M. 2017. Prospections géophysiques au Parc aux Chevaux, à La Chaume, au Champlain et aux Sources de l'Yonne. W: V. Guichard (red.), *Rapport intermédiaire 2017 du programme quadriennal de recherche 2017–2020 sur le mont Beuvray*, 37–45. Glux-en-Glenne: Bibracte Centre archéologique européen.

Tomasz Bochnak, Gilles Hamm†

Transformations of the structures of Champlain sector (Bibracte Oppidum) in light of excavations from 2013–2019

Summary

Since 2005, a team from the Institute of Archaeology at the University of Rzeszów (IA UR) has been participating in research at the oppidum of Bibracte (Mont Beuvray) in Burgundy.

In 2012, a decision was made to begin excavation works to investigate the situation on the slope descending towards road D 274 (Fig. 1). The designated area is intended to eventually connect the excavation sites from the Côme Chaudron and Champlain sectors with the top of the hill called Theurot de la Wivre (793 m), which was researched by the team led by Thierry Luginbühl (Guichard 2007, 26, 27). The study presented here is preliminary in nature and is based mainly on data collected in the years 2013–2019 (Fig. 2).

Regarding the slope of the Champlain sector, five wide terraces were identified (Fig. 3). These units have only been partially uncovered, as their edges are usually located outside the excavation boundaries.

Within the terraces, several phases of settlement were identified. There is a sequence involving the formation of the terraces and adjustments based on creating flattened areas, as well

as a sequence of settlement phases of the researched area. It has been possible to document the chronological relationships between individual structures on the discussed terraces. In specific cases, the construction extended over two neighbouring terraces (neighbouring terraces were linked structurally). It seems there was no fixed rhythm of changes in the phases of settlement, therefore we cannot precisely synchronize all transitions in the use of the terraces. However, it is very likely that some building phases on the successive terraces are to a significant degree contemporary with each other.

Despite the relatively poor state of preservation of immovable features recorded on the Champlain slope and the few clear stratigraphic relationships, the features documented between 2013 and 2019 can be linked with three successive stages of occupation, ranging from LT D2b phase to the middle period of Augustus's reign (Figs. 13–16).

The research in the Champlain sector has not been completed yet. The conclusion of the fieldwork is planned for 2025.